

# 类石墨相 $C_3N_4$ 可见光催化还原 Cr(VI) 废水的研究

李瑞桢<sup>1</sup>, 徐秋鹏<sup>1,2</sup>, 汪虹西<sup>1</sup>, 邹落梅<sup>1</sup>, 李红菲<sup>1</sup>, 廖宇琴<sup>1</sup>, 王万涛<sup>1</sup>,  
袁基刚<sup>1</sup>, 王成端<sup>1,3</sup>

(1. 四川理工学院 化学与环境工程学院, 四川 自贡 643000; 2. 四川理工学院 化学工程  
学院, 四川 自贡 643000; 3. 四川文理学院 化学化工学院, 四川 达州 635000)

**摘要:** 采用一步煅烧法制备了具有良好可见光催化活性的类石墨相氮化碳( $g\text{-}C_3N_4$ )催化剂, 并通过X射线衍射仪、扫描电子显微镜和傅里叶红外光谱对 $g\text{-}C_3N_4$ 催化剂的晶体结构、表面形貌和分子结构等特性进行了表征。结果表明, 该 $g\text{-}C_3N_4$ 催化剂具有类石墨相晶型、良好的分散性和吸附性能, 结合可见光可用于催化还原Cr(VI)废水。在Cr(VI)废水的体积为50 mL、空穴消耗剂(甲酸)的浓度为0.78 mol/L、 $g\text{-}C_3N_4$ 催化剂的质量为80 mg、Cr(VI)废水的初始浓度(以 $K_2Cr_2O_7$ 计)为50 mg/L条件下, 35 min内对Cr(VI)的可见光催化还原效率达96.85%, 并分析了 $g\text{-}C_3N_4$ 催化剂对Cr(VI)的光催化还原机理。

**关键词:** 类石墨相  $C_3N_4$ ; 可见光; 光催化还原; Cr(VI)废水

**中图分类号:** X703    **文献标识码:** C    **文章编号:** 1000-4602(2017)05-0089-05

## Visible-light Photocatalytic Reduction of Cr(VI) Wastewater Using Graphite-like Carbon Nitride

LI Rui-zhen<sup>1</sup>, XU Qiu-peng<sup>1,2</sup>, WANG Hong-xi<sup>1</sup>, ZOU Luo-mei<sup>1</sup>, LI Hong-fei<sup>1</sup>,  
LIAO Yu-qin<sup>1</sup>, WANG Wan-tao<sup>1</sup>, YUAN Ji-gang<sup>1</sup>, WANG Cheng-duan<sup>1,3</sup>

(1. School of Chemical and Environmental Engineering, Sichuan University of Science and Engineering,  
Zigong 643000, China; 2. School of Chemical Engineering, Sichuan University of Science and  
Engineering, Zigong 643000, China; 3. School of Chemistry and Chemical Engineering, Sichuan  
University of Arts and Science, Dazhou 635000, China)

**Abstract:** One-step calcination method was used to synthesize graphite-like carbon nitride ( $g\text{-}C_3N_4$ ) with good visible-light photocatalytic activity. The properties including the crystalline structure, the surface morphology, and the molecule structure of  $g\text{-}C_3N_4$  were characterized using X-ray diffractometer (XRD), scanning electron microscope (SEM) and Fourier transform-infrared spectroscopy (FT-IR). The results indicated that the one-step calcination method had successfully synthesized  $g\text{-}C_3N_4$  with good dispersity and adsorptivity. Visible-light photocatalytic reduction of Cr(VI) wastewater using  $g\text{-}C_3N_4$  as photocatalyst was investigated, as well as the factors of the photocatalytic reduction process. The reduction efficiency of Cr(VI) reached up to 96.85% within 35 min in a test where the volume of Cr(VI)

基金项目: 国家自然科学青年基金资助项目(61601313); 四川省教育厅重点项目(16ZA0261); 四川理工学院人才引进项目(2015RC02); 国家级大学生创新创业训练计划项目(201610622032); 过程装备与控制工程四川省高校重点实验室项目(GK201611)

wastewater solution was 50 mL, the concentration of formic acid as holes scavenger was 0.78 mol/L, the mass of g-C<sub>3</sub>N<sub>4</sub> was 80 mg, and the initial concentration of Cr( VI) in wastewater (calculated as the concentration of potassium dichromate) was 50 mg/L. In the end, the photocatalytic reduction mechanism of Cr( VI) on the surface of g-C<sub>3</sub>N<sub>4</sub> catalyst was discussed.

**Key words:** g-C<sub>3</sub>N<sub>4</sub>; visible-light; photocatalytic reduction; Cr( VI) wastewater

随着电镀、印染、化工等行业的发展,铬的应用越来越广泛,同时带来的污染尤其是六价铬超标问题日趋严重<sup>[1]</sup>,我国已经将铬列为第一类污染物。目前处理六价铬废水的方法主要有生物法、离子交换法、化学沉淀法和吸附法等<sup>[2]</sup>,但是均具有局限性。例如生物法菌种成活率低、离子交换法成本高、化学沉淀法后续处理繁琐、吸附法无法将铬从根本上去除等。已有的研究证明半导体光催化技术在还原Cr( VI)方面表现出了较好的效果,且无二次污染<sup>[3~6]</sup>。类石墨相氮化碳(g-C<sub>3</sub>N<sub>4</sub>)是一种窄禁带半导体材料,在可见光照射下具有良好的光催化性能<sup>[7]</sup>。由于碳和氮在地球中储量丰富、价格低廉、无毒,因此g-C<sub>3</sub>N<sub>4</sub>作为光催化剂具有巨大的发展潜力。

## 1 试验材料与方法

### 1.1 催化剂的制备

准确称取5 g三聚氰胺(AR分析纯)放入陶瓷坩埚中,再将坩埚放入550 °C马福炉中恒温4 h,取出后自然冷却至室温,将得到的黄色样品研磨成粉状备用。

### 1.2 催化剂的表征

X射线衍射(XRD)的辐射源为Cu K $\alpha$ 射线,管电压为30 kV,管电流为10 mA,扫描速度为每秒0.02°。扫描电子显微镜(SEM)的加速电压为15 kV。傅里叶红外光谱(FT-IR)使用KBr压片制样,扫描速度为4 cm/s,扫描波数范围为400~4 000 cm<sup>-1</sup>。

### 1.3 光催化还原过程

光催化反应在液相光化学反应器系统中进行,可见光源为氘灯。以重铬酸钾(K<sub>2</sub>Cr<sub>2</sub>O<sub>7</sub>)溶液作为Cr( VI)废水来源,其废水浓度以K<sub>2</sub>Cr<sub>2</sub>O<sub>7</sub>计。向50 mL一定浓度的K<sub>2</sub>Cr<sub>2</sub>O<sub>7</sub>溶液加入g-C<sub>3</sub>N<sub>4</sub>和甲酸空穴消耗剂,并在黑暗处搅拌至吸附平衡后开启可见光源。每隔一段时间取2 mL反应溶液放入离心机中分离,取1 mL上清液稀释后,利用国标法(GB 7466—87)测定吸光度。通过Cr( VI)标准曲线计算

不同光照时间下Cr( VI)废水的浓度,Cr( VI)的光催化还原效率由不同时间下得到的浓度C<sub>t</sub>与初始浓度C<sub>0</sub>的比值计算得出。

## 2 结果与讨论

### 2.1 催化剂的表征

#### 2.1.1 XRD分析

图1为g-C<sub>3</sub>N<sub>4</sub>催化剂的XRD图谱。

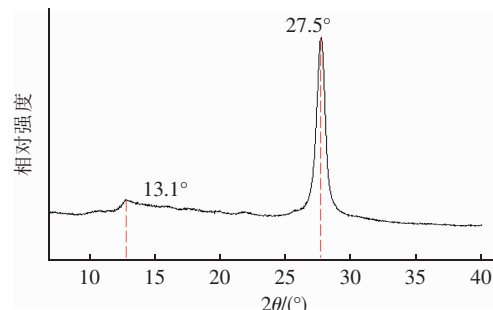


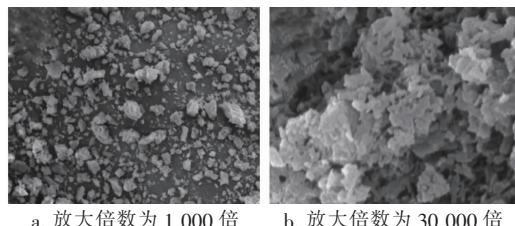
图1 g-C<sub>3</sub>N<sub>4</sub> 的XRD图谱

Fig. 1 XRD pattern of g-C<sub>3</sub>N<sub>4</sub>

由图1可知,在13.1°和27.5°位置有两个特征峰,其中13.1°处的峰表明一步煅烧合成样品中含有三嗪环结构,27.5°处的峰与层间堆叠有关,这两个特征峰与类石墨相C<sub>3</sub>N<sub>4</sub>的衍射峰一致(JCPDS No. 87-1526)<sup>[8]</sup>,说明一步煅烧法成功合成了类石墨相氮化碳。

#### 2.1.2 SEM分析

图2为g-C<sub>3</sub>N<sub>4</sub>的SEM照片。



a. 放大倍数为1 000倍

b. 放大倍数为30 000倍

图2 g-C<sub>3</sub>N<sub>4</sub> 的SEM照片

Fig. 2 SEM images of g-C<sub>3</sub>N<sub>4</sub>

由图2(a)可见g-C<sub>3</sub>N<sub>4</sub>呈颗粒状,粒径为1~17 μm,分散性较好,说明在光催化过程中g-C<sub>3</sub>N<sub>4</sub>可以均匀分散于反应溶液中;由图2(b)可见,颗粒状的

g-C<sub>3</sub>N<sub>4</sub>表面具有许多的微孔,这种微孔结构有利于吸附污染物,进而提高光催化的反应效率<sup>[9]</sup>。

### 2.1.3 FT-IR分析

图3为g-C<sub>3</sub>N<sub>4</sub>的傅里叶变换红外光谱。

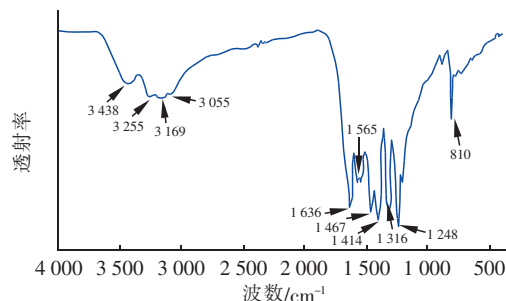


图3 g-C<sub>3</sub>N<sub>4</sub>的傅里叶变换红外光谱

Fig. 3 FT-IR spectra of g-C<sub>3</sub>N<sub>4</sub>

由图3可知,在810、1 248~1 650、3 000~3 500 cm<sup>-1</sup>存在特征吸收谱带。其中,810 cm<sup>-1</sup>处较尖的吸收峰是由三嗪环的平面外弯曲振动形成的,这与XRD的结果一致,进一步证明了其具有C—N—C的伸展网络结构。在1 248~1 650 cm<sup>-1</sup>范围内较强的吸收谱带是由典型的庚嗪杂环(C<sub>6</sub>N<sub>7</sub>)伸缩振动引起的。而在3 000~3 500 cm<sup>-1</sup>范围内的宽谱带是由于=NH和—NH<sub>2</sub>的特征吸收产生的。因此,FT-IR光谱进一步证明了制备的催化剂是具有类石墨相结构的C<sub>3</sub>N<sub>4</sub><sup>[8]</sup>。

## 2.2 影响因素分析

### 2.2.1 甲酸空穴消耗剂量的影响

以甲酸为空穴消耗剂,在光催化还原过程中加入不同浓度的甲酸, Cr(Ⅵ)废水的初始浓度为70 mg/L,体积为50 mL,g-C<sub>3</sub>N<sub>4</sub>催化剂的质量为50 mg,反应时间为50 min。图4为甲酸浓度对Cr(Ⅵ)光催化还原效率的影响。

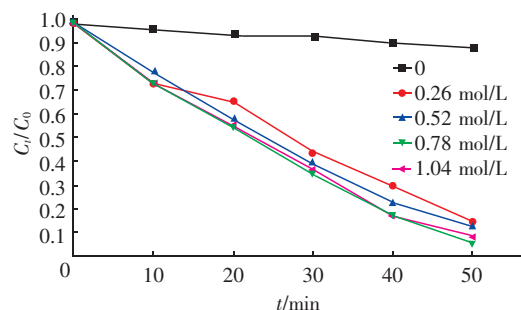


图4 甲酸浓度的影响

Fig. 4 Effect of formic acid concentration

由图4可以看出,未加入甲酸时,仅有10.87%

的Cr(Ⅵ)被还原,光催化还原效率较低;加入甲酸后,光催化还原Cr(Ⅵ)的效率急剧升高。当甲酸含量为0.78 mol/L时,可见光照射50 min后Cr(Ⅵ)的还原率达到93.86%。分析原因,可能是由于甲酸与光照产生的空穴发生反应,减小了g-C<sub>3</sub>N<sub>4</sub>催化剂中电子与空穴的复合几率,从而提高了g-C<sub>3</sub>N<sub>4</sub>的光催化活性<sup>[6]</sup>。继续增加甲酸浓度至1.04 mol/L,还原效果(还原率为91.40%)并未进一步提高,其原因可能是甲酸含量为0.78 mol/L时,消耗空穴的速率与还原Cr(Ⅵ)的速率已达到平衡,过量的甲酸与Cr(Ⅵ)竞争催化剂表面的活性位点,从而影响还原效率<sup>[10]</sup>。因此,确定后续试验中甲酸的浓度为0.78 mol/L。

### 2.2.2 g-C<sub>3</sub>N<sub>4</sub>催化剂用量的影响

催化剂能为光催化反应提供活性位点,且含量越多提供的活性位点越多,但同时也会增加反应液的浊度,影响溶液的透光性,使催化剂受光照激发的程度减小,从而导致光催化反应效率降低<sup>[11]</sup>。因此,确定最佳催化剂用量不仅可以使光催化效率达到最佳,还可以节约成本。试验过程中, Cr(Ⅵ)废水的初始浓度为70 mg/L,体积为50 mL,甲酸浓度为0.78 mol/L,反应时间为60 min。图5为g-C<sub>3</sub>N<sub>4</sub>催化剂用量对Cr(Ⅵ)光催化还原效率的影响。

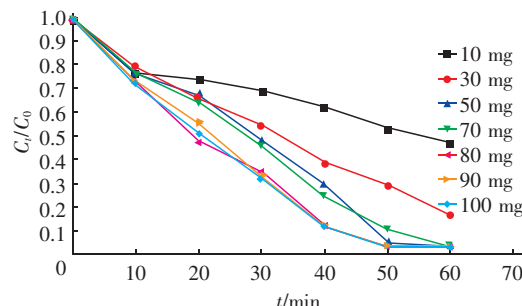


图5 g-C<sub>3</sub>N<sub>4</sub>催化剂用量的影响

Fig. 5 Effect of g-C<sub>3</sub>N<sub>4</sub> dosages

由图5可知,前10 min内还原速率较快,可能是由于催化剂表面的活性位点较多,Cr(Ⅵ)被快速吸附到催化剂表面。10~60 min还原速率不断降低,可能是由于前10 min吸附的Cr(Ⅵ)占据了催化剂表面的所有活性位点,未还原的Cr(Ⅵ)与已经吸附的Cr(Ⅵ)产生竞争吸附,且未还原的Cr(Ⅵ)需等待已经吸附的Cr(Ⅵ)还原完全才能被催化剂吸附还原,因此还原速率降低。当催化剂的含量在10~80 mg时,随着催化剂含量的增加还原效率逐

渐增大,这是由于催化剂为反应提供的活性位点增多,从而增大了催化剂与污染物的接触面积。当催化剂的含量进一步增加到90 mg甚至100 mg时,反应效率并未继续增大,可能是由于催化剂用量过大,使溶液的浊度增大,进而降低了催化剂受光源照射激发产生的电荷量,催化还原效果变差<sup>[12]</sup>。因此,后续试验中选择催化剂的用量为80 mg。

### 2.2.3 Cr( VI)废水初始浓度的影响

试验过程中,Cr( VI)废水体积为50 mL,甲酸的含量为0.78 mol/L,催化剂的质量为80 mg,光照时间为35 min,分析Cr( VI)废水初始浓度对光催化还原过程的影响,结果如图6所示。

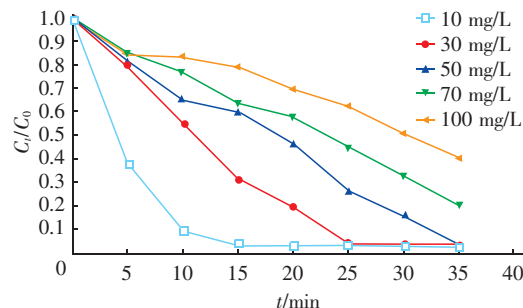


图6 Cr( VI)废水初始浓度的影响

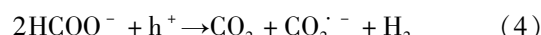
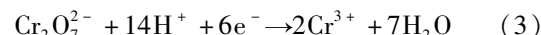
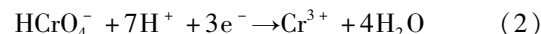
Fig. 6 Effect of initial concentration of Cr( VI)

由图6可知,当Cr( VI)废水初始浓度分别为10、30、50、70、100 mg/L时,对Cr( VI)的还原率分别为97.67%、96.34%、96.85%、79.46%、59.41%,且催化剂的降解率分别为 $6.1 \times 10^{-3}$ 、 $14.5 \times 10^{-3}$ 、 $17.3 \times 10^{-3}$ 、 $19.9 \times 10^{-3}$ 、 $21.2 \times 10^{-3}$  mg/(L·mg·min)。分析原因:①在该试验条件下,催化剂含量一定,不断增加Cr( VI)废水的初始浓度,则催化剂提供的活性位点不足以满足越来越多的Cr( VI),导致对高浓度废水的还原率偏低<sup>[12]</sup>。②催化剂的降解率差异较大主要是由于光照时间相同,在光催化还原后期,低浓度的Cr( VI)基本被还原完全,因此污染物减少,不能充分利用催化剂活性位点;而高浓度的Cr( VI)废水可继续提供足量的污染物,充分利用催化剂的活性位点,保持较快的降解速率<sup>[13]</sup>。综合以上分析,确定Cr( VI)废水的初始浓度为50 mg/L。

### 2.3 光催化还原机理

在可见光照射下,当光照强度大于g-C<sub>3</sub>N<sub>4</sub>的带隙宽度时,g-C<sub>3</sub>N<sub>4</sub>受到激发产生电荷对[见式(1)];其中,电子从g-C<sub>3</sub>N<sub>4</sub>的价带跃迁到导带并还原吸附

其表面的Cr( VI)为Cr( III)[见式(2)、(3)];价带上的空穴被甲酸捕获生成CO<sub>2</sub><sup>-</sup>[见式(4)][<sup>5,11,14</sup>],一方面空穴被捕获使光生电荷的复合率降低,另一方面生成的CO<sub>2</sub><sup>-</sup>具有很好的还原性能,可以还原Cr( VI)为Cr( III),从而共同促进六价铬的光催化还原效率的提高。



光催化还原机理如图7所示。

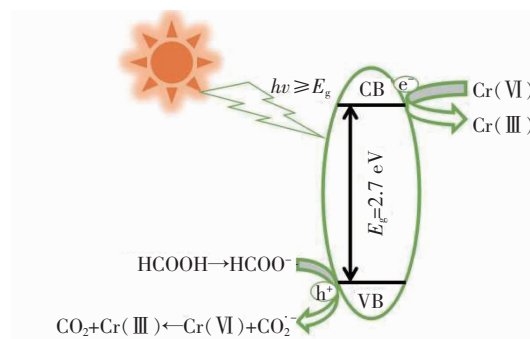


图7 g-C<sub>3</sub>N<sub>4</sub>还原Cr( VI)的机理

Fig. 7 Photocatalytic reduction mechanism of Cr( VI)

using g-C<sub>3</sub>N<sub>4</sub> under visible-light irradiation

### 3 结论

采用一步煅烧法成功合成了具有类石墨相晶型、良好分散性、良好吸附性能和可见光催化活性的氮化碳催化剂。在最佳操作条件下,通过可见光利用g-C<sub>3</sub>N<sub>4</sub>催化剂处理Cr( VI)废水,35 min内50 mg/L的Cr( VI)废水的催化还原效率可达96.85%。因此,采用g-C<sub>3</sub>N<sub>4</sub>作为光催化剂还原Cr( VI)及其他重金属废水具有巨大潜力。

### 参考文献:

- [1] 杜嵩山,赵长伟,任晓晶,等. 纳滤膜去除饮用水中Cr( VI)的应用研究[J]. 中国给水排水,2012,28(23):82-84.
- [2] Wu Q P,Zhao J,Qin G H,*et al.* Photocatalytic reduction of Cr( VI) with TiO<sub>2</sub> film under visible light[J]. App Catal B:Environ,2013,142/143:142-148.
- [3] Jiang F,Zheng Z,Xu Z Y,*et al.* Aqueous Cr( VI) photo-reduction catalyzed by TiO<sub>2</sub> and sulfated TiO<sub>2</sub>[J]. J Hazard Mater,2006,134(1/3):94-103.
- [4] Zhang Y C,Yang M,Zhang G S,*et al.* HNO<sub>3</sub>-involved

- one-step low temperature solvothermal synthesis of N-doped TiO<sub>2</sub> nanocrystals for efficient photocatalytic reduction of Cr(Ⅵ) in water[J]. Appl Catal B: Environ, 2013, 142/143: 249–258.
- [5] Mekatel H, Amokrane S, Bellal B, et al. Photocatalytic reduction of Cr(Ⅵ) on nanosized Fe<sub>2</sub>O<sub>3</sub> supported on natural Algerian clay: Characteristics, kinetic and thermodynamic study[J]. Chem Eng J, 2012, 200/202: 611–618.
- [6] Zhao W, Liu Y, Wei Z B, et al. Fabrication of a novel p-n heterojunction photocatalyst n-BiVO<sub>4</sub>@p-MoS<sub>2</sub> with core-shell structure and its excellent visible-light photocatalytic reduction and oxidation activities [J]. Appl Catal B: Environ, 2016, 185: 242–252.
- [7] Li R Z, Liu Y, Cheng L, et al. Photoelectrochemical aptasensing of kanamycin using visible light-activated carbon nitride and graphene oxide nanocomposites[J]. Anal Chem, 2014, 86(19): 9372–9375.
- [8] Xing W N, Chen G, Li C M, et al. Construction of large-scale ultrathin graphitic carbon nitride nanosheets by a hydrogen-bond-assisted strategy for improved photocatalytic hydrogen production and ciprofloxacin degradation activity[J]. ChemCatChem, 2016, 8(17): 2838–2845.
- [9] 李良. 硫酸胍制备多孔石墨型氮化碳及其光催化降解苯酚[J]. 工业催化, 2016, 24(2): 51–56.
- [10] Wang Q, Shi X D, Xu J J, et al. Highly enhanced photocatalytic reduction of Cr(Ⅵ) on AgI/TiO<sub>2</sub> under visible light irradiation: Influence of calcination temperature [J]. J Hazard Mater, 2016, 307: 213–220.
- [11] Shaban Y A, Maradny A A E, Farawati R K A. Photocatalytic reduction of nitrate in seawater using C/TiO<sub>2</sub> nanoparticles [J]. J Photochem Photobiol A: Chem, 2016, 328: 114–121.
- [12] Qamar M, Gondal M A, Yamani Z H, et al. Laser-induced efficient reduction of Cr(Ⅵ) catalyzed by ZnO nanoparticles[J]. J Hazard Mater, 2011, 187 (1/3): 258–263.
- [13] Idris A, Hassan N, Rashid R, et al. Kinetic and regeneration studies of photocatalytic magnetic separable beads for chromium (Ⅵ) reduction under sunligh[J]. J Hazard Mater, 2011, 186(1): 629–635.
- [14] Zhang Y C, Li J, Xu H Y, et al. One-step in situ solvothermal synthesis of SnS<sub>2</sub>/TiO<sub>2</sub> nanocomposites with high performance in visible light-driven photocatalytic reduction of aqueous Cr(Ⅵ)[J]. Appl Catal B: Environ, 2012, 123/124: 18–26.



**作者简介:**李瑞桢(1984—),女,四川自贡人,博士,讲师,主要从事水污染控制与环境检测技术、光电催化、光电化学生物传感器方面的研究工作。

**E-mail:** liruzhen007@163.com

**收稿日期:**2016-12-22

**保护植被,涵养水源,  
防治水土流失和水体污染**